

九州大学工学部 正員 山崎徳也

長崎大学 教員 横木武

九州大学 学生員 ○金子忠男

**1 緒言** 高速道路、鉄道橋などの曲線部において、連続ばりおよびラーメンなどの骨組構造で支えられた扇形平板が多く見受けられるが、かかる構造物は便宜的に骨組構造と扇形平板とに分けて設計されている。(しかししながら、この様な設計法は構造物の厳密解を与えるものではなく、場合によく、これは不経済あるいは不合理な設計とも考えられる。骨組構造に? 弾性支持された扇形平板のうち法線方向の一辺は橋台や橋脚などにより単純支持され、接線方向の一辺が連続ばりやラーメンなどに? 弹性支持された形式の構造物が最も多く見受けられるが、本研究はかかる構造物の厳密解法を提示し、その設計ならびに解析に資せんとするものである。)

**2 連続ばりおよび円弧部材をもつラーメンの解法**

(1)たわみ曲線式 図-1(a)に示すごとく、曲りばりABは中心O、半径r、中心角αの円弧とする。基線AOより角度θの位置にあらはりの微小部分dsを取り出し、(b)図のごとく法線方向にz軸、接線方向にy軸、両軸に直交してx軸をもつ右手系の移動座標(x,y,z)を導入する。また円形曲りばりの微小部分dsには(c)図のごとく、x,y,z軸方向に外荷重P<sub>x</sub>, P<sub>y</sub>, P<sub>z</sub>およびx,y,z軸まわりのモーメントM<sub>x</sub>, M<sub>y</sub>, M<sub>z</sub>が作用するものとする。(しかるとき、円形曲りばりの両端A,Bが曲げに対する単純支持振りに対する固定なる境界条件を満たす軸方向のたわみwは次式のごとく与えられる(文献(1)参照)。

$$w = \frac{1}{EI_3} \sum_{n=1}^{\infty} \left\{ \frac{a_n^2 + 1/\mu}{a_n^2 (a_n^2 - 1)^2} r^2 \bar{P}_{3n} + \frac{a_n^2 + 1/\mu}{a_n^2 (a_n^2 - 1)^2} r^2 \bar{M}_{3n} - \frac{1 + 1/\mu}{(a_n^2 - 1)^2} r^2 \bar{M}_{2n} \right\} \sin n\theta \quad (1)$$

ここで、I<sub>3</sub>: z軸にに関する断面二次モーメント、EJ<sub>y</sub>: y軸にに関する振り剛性、E: 弾性係数、G: せん断弾性係数、

$$a_n = \frac{n\pi}{\alpha}, \quad \mu = \frac{GJ_y}{EI_3}, \quad n=1, 2, \dots \quad \bar{P}_{3n} = \frac{2}{\alpha} \int_0^\alpha P_3 \sin n\theta d\theta, \quad \bar{M}_{3n} = \frac{\bar{M}_0}{2} + \frac{2}{\alpha} \int_0^\alpha \bar{M}_3 \cos n\theta d\theta, \quad \bar{M}_{2n} = \frac{2}{\alpha} \int_0^\alpha \bar{M}_2 \sin n\theta d\theta. \quad (2)$$

さて、図-2に示すごとく円形曲りばりAB(以下単一部材列ABと称す)は一般にl個の中間支柱(または中間支点)を有するものとし、基線AOよりこれら中間支柱までの開角をθ<sub>1</sub>, θ<sub>2</sub>, ..., θ<sub>l</sub>, ..., θ<sub>l</sub>とする。このとき部材列ABに外荷重とz軸方向にP<sub>z</sub>(θ), z軸まわりのモーメントM<sub>z</sub>(θ), M<sub>y</sub>(θ)が作用し、部材列ABの各中間支柱に生ずる反力および反カモーメントをそれぞれR<sub>1</sub>, R<sub>2</sub>, ..., R<sub>l</sub>, ..., R<sub>l</sub>; M<sub>x1</sub>, M<sub>x2</sub>, ..., M<sub>xl</sub>, ..., M<sub>yl</sub>; M<sub>y1</sub>, M<sub>y2</sub>, ..., M<sub>yl</sub>, ..., M<sub>yl</sub>とする。部材列ABに対して外荷重の他に中間支柱の反力、反カモーメントを考慮とみなす、これらをフーリエ級数に展開すれば部材列ABに作用する全荷重は次のとく算定される。

$$\begin{aligned} P_z(\theta) &= \sum_{n=1}^{\infty} P_{zn} \sin n\theta, & P_{zn} &= \frac{2}{\alpha} \int_0^\alpha P_z(\theta) \sin n\theta d\theta = \frac{2}{\alpha r} \sum_{i=1}^l R_i \sin n\theta_i \\ M_z(\theta) &= \sum_{n=1}^{\infty} M_{zn} \cos n\theta, & M_{zn} &= \frac{M_0}{2} + \frac{2}{\alpha} \int_0^\alpha M_z(\theta) \cos n\theta d\theta = \frac{1}{\alpha r} \sum_{i=1}^l R_i \sum_{j=0}^{l-1} M_{ij} \cos(n\theta_i + j\pi) \\ M_y(\theta) &= \sum_{n=1}^{\infty} M_{yn} \sin n\theta, & M_{yn} &= \frac{2}{\alpha} \int_0^\alpha M_y(\theta) \sin n\theta d\theta = \frac{2}{\alpha r} \sum_{i=1}^l M_{yi} \sin n\theta_i \end{aligned} \quad (2)$$

式(1)にL+1を $\bar{P}_{3n}$ ,  $\bar{M}_{3n}$ ,  $\bar{M}_{2n}$ の代りに式(2)を用いれば、式(1)は(l+1)スパンの連続円形曲りばりまたはラーメンに任意荷重が作用したときの部材列ABのたわみ曲線を求むわすこととなる。したがって、(何らかの方法により与えられた荷重状態における部材列ABの中間支柱の反力および反カモーメント)

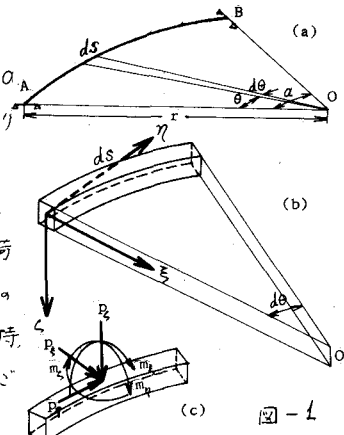


図-1

シト  $R_i, M_{ij}, M_{ij\theta}$  が求めすれば、たわみ曲線がえられることとなる。

(2) 基本連立方程式の誘導 部材列 A B の中间支柱の垂直変位量を  $d_1, d_2, \dots, d_l, d_{l+1}$  とし、 $\alpha$  軸まわりの回転角を  $\theta_{11}, \theta_{12}, \dots, \theta_{1l}, \theta_{1l+1}$  、 $\beta$  軸まわりの回転角を  $\theta_{21}, \theta_{22}, \dots, \theta_{2l}, \theta_{2l+1}$  とすれば、これらと式(1)のたわみ曲線式および式(1)から誘導された  $\alpha$  軸まわりの回転角式  $\theta = \theta_0, \theta_1, \dots, \theta_l, \theta_{l+1}$  を代入してえられる結果が等しくなければならぬことより次のことを一連の方程式をうな。

$$\left. \begin{aligned} & \frac{\partial}{\partial r} \sum_{k=1}^l H_{ik} R_k + \frac{2}{\partial r} \sum_{k=1}^l H_{ik} M_{ik\theta} - \frac{2}{\partial r} \sum_{k=1}^l H_{ik} M_{ik\theta} = r D_k^2 + D_k^2 - E I_k d_k \\ & \frac{\partial}{\partial r} \sum_{k=1}^l H_{ik} R_k + \frac{2}{\partial r} \sum_{k=1}^l H_{ik} M_{ik\theta} - \frac{2\pi}{\partial r} \sum_{k=1}^l H_{ik} M_{ik\theta} = r \bar{D}_k^2 + \bar{D}_k^2 - \frac{E I_k}{r^2} d_k \\ & \frac{\partial}{\partial r} \sum_{k=1}^l L_{ik} R_k + \frac{2}{\partial r} \sum_{k=1}^l L_{ik} M_{ik\theta} - \frac{2}{\partial r} \sum_{k=1}^l L_{ik} M_{ik\theta} = r K_k^2 + \frac{\pi}{\partial r} K_k^2 - K_k^2 + \frac{E I_k}{r^2} (1 + \frac{1}{r}) \theta_{k+1} \end{aligned} \right\} \quad (3)$$

$$\therefore H_{ik} = \sum_{n=1}^{\infty} A(\alpha_n) \sin n\alpha_i \theta_k, \quad H_{ik}^2 = \sum_{n=1}^{\infty} A(\alpha_n) \cos n\alpha_i \theta_k, \quad H_{ik}^3 = \sum_{n=1}^{\infty} A(\alpha_n) \sin n\alpha_i \theta_k \cos n\alpha_i \theta_k,$$

$$H_{ik}^4 = \sum_{n=1}^{\infty} A(\alpha_n) \sin n\alpha_i \theta_k \sin n\alpha_i \theta_k, \quad H_{ik}^5 = \sum_{n=1}^{\infty} n A(\alpha_n) \cos n\alpha_i \theta_k \cos n\alpha_i \theta_k, \quad H_{ik}^6 = \sum_{n=1}^{\infty} n A(\alpha_n) \sin n\alpha_i \theta_k \cos n\alpha_i \theta_k.$$

$$L_{ik}^2 = \sum_{n=1}^{\infty} A(\alpha_n) M_{kn} \sin n\alpha_i \theta_k, \quad L_{ik}^3 = \sum_{n=1}^{\infty} n A(\alpha_n) M_{kn} \sin n\alpha_i \theta_k, \quad L_{ik}^4 = \sum_{n=1}^{\infty} (1 + \frac{1}{r}) A(\alpha_n) \sin n\alpha_i \theta_k \sin n\alpha_i \theta_k, \quad D_k^2 = \sum_{n=1}^{\infty} A(\alpha_n) P_{kn} \sin n\alpha_i \theta_k, \quad D_k^3 = \sum_{n=1}^{\infty} n A(\alpha_n) P_{kn} \sin n\alpha_i \theta_k,$$

$$D_k^4 = \sum_{n=1}^{\infty} n^2 A(\alpha_n) M_{kn} \cos n\alpha_i \theta_k, \quad K_k^2 = \sum_{n=1}^{\infty} \alpha_n^2 A(\alpha_n) P_{kn} \sin n\alpha_i \theta_k, \quad K_k^3 = \sum_{n=1}^{\infty} n \alpha_n^2 A(\alpha_n) M_{kn} \sin n\alpha_i \theta_k, \quad K_k^4 = \sum_{n=1}^{\infty} n^2 \alpha_n^2 A(\alpha_n) M_{kn} \cos n\alpha_i \theta_k.$$

$$A(\alpha_n) = (\alpha_n^2 + 1/\mu) / (\alpha_n^2 (\alpha_n^2 - 1)^2), \quad \Delta(\alpha_n) = (1 + 1/\mu) / (\alpha_n^2 - 1)^2,$$

式(3)は不静定量  $R_i, M_{ij}, M_{ij\theta}$  を求めたための基本連立方程式である。式(3)の左辺の諸係数は部材列 A B の材質、断面の諸寸法および中间支柱の位置により求められる形状定数である、右辺第1～3項は部材列 A B に作用する荷重の状態により定まる荷重項である。式(3)は全体で  $(3l+2)$  元の連立方程式であるが、 $R_i, d_i, M_{ij}$  といずれか一方が判明すれば、すなはち  $R_i, d_i, M_{ij}$  といふ関係が明るかになれば未知数と方程式の数とが一致し、式(2)の基本連立方程式が解けることとなる。すなはち式(3)よりえられた  $R_i, M_{ij}, M_{ij\theta}$  の値を式(1)に代入すれば部材列 A B のたわみ曲線が求まることとなり、こうしてこれを用いて各断面の諸変位および諸断面力が算定されることとなる。

### 3 接線方向の一辺が弾性支持される扇形平板の解法

(1) たわみ曲面式 図-3 に示すごとく、扇形平板 A B C D において円心 O から接線方向の二辺 A C, B D までの距離を  $r_1, r_2$  とし、法線方向の二辺からの角を  $\alpha$ 、板厚を  $a$  とする。すなはち O を原点とする極座標  $(r, \theta, z)$  を導入し、扇形平板に作用する垂直荷重を  $q(r, \theta)$  とする。このとき、板の  $\alpha$  軸方向のたわみを  $w$  とすれば、 $w$  を求めたための基礎微分方程式は次式のとおりである。

$$\frac{\partial^4 w}{\partial r^4} + \frac{2}{r} \frac{\partial^3 w}{\partial r^3} - \frac{1}{r^2} \frac{\partial^2 w}{\partial r^2} + \frac{1}{r^3} \frac{\partial^2 w}{\partial r^2} + \frac{2}{r^2} \frac{\partial^4 w}{\partial \theta^4} - \frac{2}{r^3} \frac{\partial^3 w}{\partial \theta^3} + \frac{4}{r^4} \frac{\partial^2 w}{\partial \theta^2} + \frac{1}{r^5} \frac{\partial^2 w}{\partial \theta^2} = \frac{q(r, \theta)}{D} \quad (4)$$

ここで、 $D = E_p a^3 / \{12(1-\nu^2)\}$ ; 板剛度  $E_p$ ; 板の弾性係数、 $\nu$ ; ポアソン比

本題の扇形平板は法線方向の三辺 A B, C D が単純支持され、(1)の境界条件を満足する式(4)の一般解は次式で与えられる(文献(2)参照)。

$$w = \sum_{n=1}^{\infty} (A_n r^{\alpha_n} + B_n r^{-\alpha_n} + C_n r^{\alpha_n+2} + D_n r^{-\alpha_n+2}) \sin n\alpha \theta + \sum_{n=1}^{\infty} F_n(r) \sin n\alpha \theta \quad (5)$$

$$\therefore F_n(r) = A_n r^{\alpha_n} / \{(16 - \alpha_n^2)(4 - \alpha_n^2)\}, \quad A_n = \frac{2}{\alpha} \int_0^{\alpha} q(r, \theta) \sin n\alpha \theta d\theta.$$

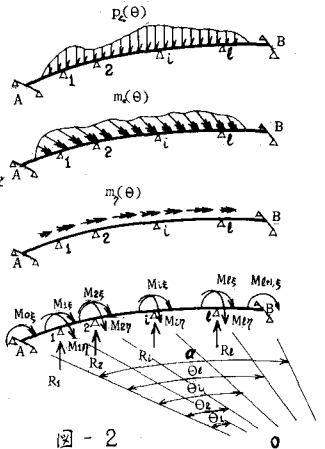


図-2

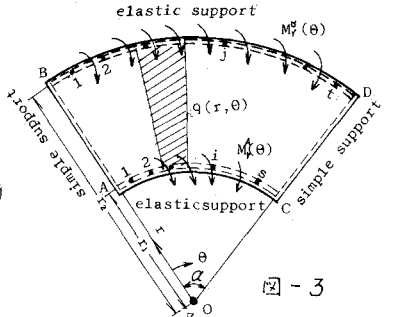


図-3

また、扇形平板が接線方向の二辺 A C, B D における任意スパンの内筋部材列で構成された連続ばかりまたはラーメンに取り弾性支持され、かつ端モーメント  $M_A^B(\theta)$ ,  $M_B^A(\theta)$  を受けたものとする。かくことき、扇形平板と直結するより部材列 A C, B D のたわみ曲線をそれぞれ  $\delta^A(\theta)$ ,  $\delta^B(\theta)$  とすれば式(5)の積分定数  $A_n \sim D_n$  を求めたための境界条件は次のようである。

$$\begin{aligned} Y = Y_1, Z^c, \quad (W)_{Y=Y_1} = \delta^A(\theta) = \sum_{n=1}^{\infty} \delta_n^A \sin \alpha_n \theta, \quad (M_Y)_{Y=Y_1} = -D \left\{ \frac{\partial^2 W}{\partial Y^2} + \nu \left( \frac{\partial^2 W}{\partial Z^2} + \frac{\partial^2 W}{\partial X^2} \right) \right\}_{Y=Y_1} = M_A^B(\theta) = \sum_{n=1}^{\infty} M_{nA}^B \sin \alpha_n \theta \\ Y = Y_2, Z^c, \quad (W)_{Y=Y_2} = \delta^B(\theta) = \sum_{n=1}^{\infty} \delta_n^B \sin \alpha_n \theta, \quad (M_Y)_{Y=Y_2} = -D \left\{ \frac{\partial^2 W}{\partial Y^2} + \nu \left( \frac{\partial^2 W}{\partial Z^2} + \frac{\partial^2 W}{\partial X^2} \right) \right\}_{Y=Y_2} = M_B^A(\theta) = -\sum_{n=1}^{\infty} M_{nB}^A \sin \alpha_n \theta \end{aligned} \quad (6)$$

したがって、 $\delta_n^A$ ,  $\delta_n^B$ ,  $M_{nA}^B$ ,  $M_{nB}^A$  は  $\delta^A(\theta)$ ,  $\delta^B(\theta)$ ,  $M_A^B(\theta)$ ,  $M_B^A(\theta)$  のフーリエ展開係数

式(5)と式(6)に代入すれば積分定数  $A_n \sim D_n$  が次のようしく算定される。

$$\begin{aligned} A_n &= \frac{2}{E} \left( \frac{d}{D} M_{nA}^B + \frac{d'}{D} M_{nB}^A + B_n \delta_n^A - C_n \delta_n^B + G_{1n} \right), & B_n &= \frac{2}{E} \left( -\frac{G}{D} M_{nA}^B - \frac{G'}{D} M_{nB}^A - d_n \delta_n^A + d'_n \delta_n^B + G_{2n} \right), \\ C_n &= \frac{2}{E} \left( -\frac{G}{D} M_{nA}^B - \frac{G'}{D} M_{nB}^A - f_n \delta_n^A + f'_n \delta_n^B + G_{3n} \right), & D_n &= \frac{2}{E} \left( -\frac{G}{D} M_{nA}^B - \frac{G'}{D} M_{nB}^A - h_n \delta_n^A + h'_n \delta_n^B + G_{4n} \right), \end{aligned} \quad (7)$$

したがって、 $E$ ,  $G$ ,  $d$ ,  $d'$ ,  $f$ ,  $f'$ ,  $h$ ,  $h'$ ,  $G_{1n} \sim G_{4n}$  は  $n$  の関数。

式(7)は含むれた  $\delta_n^A$ ,  $\delta_n^B$ ,  $M_{nA}^B$ ,  $M_{nB}^A$  は扇形平板とこれを弹性支持する部材列との間に成立すべき次の条件から求められる。(i) 部材列 A C, B D のたわみ  $\delta^A(\theta)$ ,  $\delta^B(\theta)$  の扇形平板の反力  $(V_R)_{r=r_1}$ ,  $(V_R)_{r=r_2}$  に起因する。(ii) 扇形平板の接線方向の二辺 A C, B D における法線方向の回転角  $(\beta^W)_{r=r_1}$ ,  $(\beta^W)_{r=r_2}$  は、板を弹性支持する部材列 A C, B D の捩れ回転角に等しい。まず条件(i)の  $V_R$  とたわみとの関係式は次式(8)と与えられる。

$$V_R = -D \left\{ \frac{\partial^2 W}{\partial Y^2} + (2-\nu) \left( \frac{\partial^2 W}{\partial Z^2} - \frac{1}{r^2} \frac{\partial^2 W}{\partial X^2} + \frac{1}{r^2} \frac{\partial^2 W}{\partial Z \partial X} - \frac{2}{r^3} \frac{\partial^2 W}{\partial X^2} \right) \right\} \quad (8)$$

( $r=R$ ) と、式(8)に式(5)を代入のうえ、 $r=Y_1$ ,  $r=Y_2$  とおけば反力をそれぞれ次のようしく求める。

$$\begin{aligned} V_R^A(\theta) &= \sum_{n=1}^{\infty} V_{rn}^A \sin \alpha_n \theta & \text{したがって}, \quad V_{rn}^A &= \frac{1}{E} (8_m M_{nA}^B + Y_{rn} M_{nB}^A + S_{rn} \delta_n^A - T_{rn} \delta_n^B + F_r) \\ V_R^B(\theta) &= \sum_{n=1}^{\infty} V_{rn}^B \sin \alpha_n \theta & V_{rn}^B &= \frac{1}{E} (-8_m M_{nA}^B - Y_{rn} M_{nB}^A - S_{rn} \delta_n^A + T_{rn} \delta_n^B - F_r) \end{aligned} \quad (9)$$

いま、一般に接線方向の二辺 A C, B D を弹性支持する部材列がそれされ(A+1), (t+1)スパンであるとすると。(かくことき式(1))によれば  $\ell$  の代りに力および力を、 $P_{en}$  の代りに  $V_{rn}$  および  $T_{rn}$ ,  $M_{gn}$  の代りに  $M_{nn}$ , および  $M_{gn}$  を用いれば部材列 A C, B D のたわみ曲線がそれされ次式のようくえられる。

$$\begin{aligned} \delta_n^A(\theta) &= \sum_{j=1}^{\infty} \delta_j^A \sin \alpha_n \theta & \delta_j^A &= \frac{X_A}{Y_A D} (J_A^B Y_j^A V_{rn} - \frac{2X_A}{\alpha D} J_A^B \sum_{j=1}^{\infty} R_j^B \sin \alpha_n \theta_j^A - \frac{2X_A}{\alpha D} J_A^B \sum_{j=1}^{\infty} M_{jj}^B \cos \alpha_n \theta_j^A - J_A^B Y_j^A M_{nn}^A + \frac{2X_A^2}{\alpha^2 D} \sum_{j=1}^{\infty} M_{jj}^B \sin \alpha_n \theta_j^A) \\ \delta_n^B(\theta) &= \sum_{j=1}^{\infty} \delta_j^B \sin \alpha_n \theta & \delta_j^B &= \frac{X_B}{Y_B D} (J_B^A Y_j^B V_{rn} - \frac{2X_B}{\alpha D} J_B^A \sum_{j=1}^{\infty} R_j^A \sin \alpha_n \theta_j^B - \frac{2X_B}{\alpha D} J_B^A \sum_{j=1}^{\infty} M_{jj}^A \cos \alpha_n \theta_j^B - J_B^A Y_j^B M_{nn}^B + \frac{2X_B^2}{\alpha^2 D} \sum_{j=1}^{\infty} M_{jj}^A \sin \alpha_n \theta_j^B) \end{aligned} \quad (10)$$

$J_A$ ,  $J_A^B$ ,  $J_B$ ,  $J_B^A$ ;  $n$  の関数,  $X_A = Y_A X_D / (E^A I_A^P)$ ,  $X_B = Y_B X_D / (E^B I_B^P)$

次に、条件(ii)に示すとく部材列の捩れ回転角と板の法線方向の回転角が相等しいことより次式をうる。

$$\begin{aligned} \frac{S_{rn}}{E D} M_{nA}^B + \frac{T_{rn}}{E D} M_{nB}^A &= \frac{X_A^2}{\alpha D} J_A^B V_{rn} - \frac{2X_A}{\alpha D} J_A^B \sum_{j=1}^{\infty} R_j^B \sin \alpha_n \theta_j^A - \frac{2X_A}{\alpha D} J_A^B \sum_{j=1}^{\infty} M_{jj}^B \cos \alpha_n \theta_j^A + \frac{2X_A}{\alpha D} X_A^2 J_A^B \sum_{j=1}^{\infty} M_{jj}^B \sin \alpha_n \theta_j^A - \frac{S_{rn}}{E D} + \frac{T_{rn}}{E D} - \frac{F_r}{E} \\ \frac{S_{rn}}{E D} M_{nA}^B + \frac{T_{rn}}{E D} M_{nB}^A &= \frac{X_B^2}{\alpha D} J_B^A V_{rn} - \frac{2X_B}{\alpha D} J_B^A \sum_{j=1}^{\infty} R_j^A \sin \alpha_n \theta_j^B - \frac{2X_B}{\alpha D} J_B^A \sum_{j=1}^{\infty} M_{jj}^A \cos \alpha_n \theta_j^B + \frac{2X_B}{\alpha D} X_B^2 J_B^A \sum_{j=1}^{\infty} M_{jj}^A \sin \alpha_n \theta_j^B - \frac{S_{rn}}{E D} + \frac{T_{rn}}{E D} - \frac{F_r}{E} \end{aligned} \quad (11)$$

式(9)(10)(11)と  $\delta_n^A$ ,  $\delta_n^B$ ,  $M_{nn}^A$ ,  $M_{nn}^B$ ,  $V_{rn}$ ,  $T_{rn}$  は  $\ell=1$  と連立して解けば、これらはすべて部材列に作用する不静定量  $R_j^A$ ,  $R_j^B$ ,  $M_{jj}^A$ ,  $M_{jj}^B$ ,  $M_{nn}^A$ ,  $M_{nn}^B$  の一次式となると求められる。 $(r=R)$  と、部材列の中央支点の反力および反力モーメントを  $S_{rn}$ ,  $T_{rn}$  とすれば、 $\delta_n^A$ ,  $\delta_n^B$ ,  $M_{nn}^A$ ,  $M_{nn}^B$ ,  $V_{rn}$ ,  $T_{rn}$  は  $\ell=1$  のみの関数となり、これと式(5)を代入することにより扇形平板のたわみ曲面  $W$  がえられるところとなる。

(2) 基本連立方程式の誘導 部材列の反力および反力モーメントを求めたための基本連立方程式は式(3)の荷重項において、 $M_{gn}$  の代りに  $V_{rn}$ ,  $T_{rn}$  を、また  $M_{gn}$  の代りに  $M_{nn}^A$ ,  $M_{nn}^B$  を代入し演算を行う整理すれば、結局次式のようくえられる。

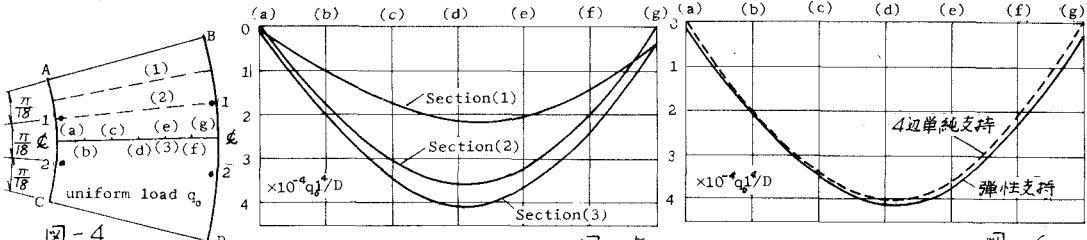
$$\begin{aligned}
& \frac{\alpha}{\alpha} (\Gamma_{jk}^{AB} + \Gamma_{jk}^{BC}) R_j^A + \frac{\alpha}{j} \Gamma_{jk}^{AB} R_j^B + \frac{1}{\alpha} \sum_{k=1}^{\alpha} (\alpha H_{jk}^{AB} + \Gamma_{jk}^{AB}) M_{jk}^A + \frac{1}{\alpha} \sum_{k=1}^{\alpha} \Gamma_{jk}^{AB} M_{jk}^B + \frac{1}{\alpha} \sum_{k=1}^{\alpha} (\alpha H_{jk}^{BC} + \Gamma_{jk}^{BC}) M_{jk}^B + \frac{1}{\alpha} \sum_{k=1}^{\alpha} \Gamma_{jk}^{BC} M_{jk}^B = D_{jk}^A - \frac{E I_{jk}}{Y_{jk}^2} d_{jk} \\
& \frac{\alpha}{\alpha} (\Gamma_{jk}^{AB} + \Gamma_{jk}^{BC}) R_j^A + \frac{\alpha}{j} \Gamma_{jk}^{AB} R_j^B + \frac{1}{\alpha} \sum_{k=1}^{\alpha} (\alpha H_{jk}^{AB} + \Gamma_{jk}^{AB}) M_{jk}^A + \frac{1}{\alpha} \sum_{k=1}^{\alpha} \Gamma_{jk}^{AB} M_{jk}^B + \frac{1}{\alpha} \sum_{k=1}^{\alpha} (\alpha H_{jk}^{BC} + \Gamma_{jk}^{BC}) M_{jk}^B + \frac{1}{\alpha} \sum_{k=1}^{\alpha} \Gamma_{jk}^{BC} M_{jk}^B = D_{jk}^B + \frac{E I_{jk}}{Y_{jk}^2} d_{jk} \\
& \frac{\alpha}{\alpha} (\alpha L_{jk}^{AB} + \Psi_{jk}^{AB}) R_j^A + \frac{\alpha}{j} \Psi_{jk}^{AB} R_j^B + \frac{1}{\alpha} \sum_{k=1}^{\alpha} (\alpha L_{jk}^{AB} + \Psi_{jk}^{AB}) M_{jk}^A + \frac{1}{\alpha} \sum_{k=1}^{\alpha} \Psi_{jk}^{AB} M_{jk}^B + \frac{1}{\alpha} \sum_{k=1}^{\alpha} (\alpha L_{jk}^{BC} + \Psi_{jk}^{BC}) M_{jk}^B + \frac{1}{\alpha} \sum_{k=1}^{\alpha} \Psi_{jk}^{BC} M_{jk}^B = h_{jk}^A + \frac{E I_{jk}}{Y_{jk}^2} C_{jk} \\
& \frac{\alpha}{\alpha} (\alpha L_{jk}^{AB} + \Psi_{jk}^{AB}) R_j^A + \frac{\alpha}{j} \Psi_{jk}^{AB} R_j^B + \frac{1}{\alpha} \sum_{k=1}^{\alpha} (\alpha L_{jk}^{AB} + \Psi_{jk}^{AB}) M_{jk}^A + \frac{1}{\alpha} \sum_{k=1}^{\alpha} \Gamma_{jk}^{AB} M_{jk}^B + \frac{1}{\alpha} \sum_{k=1}^{\alpha} (\alpha L_{jk}^{BC} + \Psi_{jk}^{BC}) M_{jk}^B + \frac{1}{\alpha} \sum_{k=1}^{\alpha} \Gamma_{jk}^{BC} M_{jk}^B = D_{jk}^A - \frac{E I_{jk}}{Y_{jk}^2} d_{jk} \\
& \frac{\alpha}{\alpha} \Psi_{jk}^{AB} R_j^A + \frac{\alpha}{j} (\alpha H_{jk}^{AB} + \Gamma_{jk}^{AB}) R_j^B + \frac{1}{\alpha} \sum_{k=1}^{\alpha} (\alpha H_{jk}^{AB} + \Gamma_{jk}^{AB}) M_{jk}^A + \frac{1}{\alpha} \sum_{k=1}^{\alpha} \Gamma_{jk}^{AB} M_{jk}^B + \frac{1}{\alpha} \sum_{k=1}^{\alpha} (\alpha H_{jk}^{BC} + \Gamma_{jk}^{BC}) M_{jk}^B + \frac{1}{\alpha} \sum_{k=1}^{\alpha} \Gamma_{jk}^{BC} M_{jk}^B = D_{jk}^B - \frac{E I_{jk}}{Y_{jk}^2} d_{jk} \\
& \frac{\alpha}{\alpha} \Psi_{jk}^{AB} R_j^A + \frac{\alpha}{j} (\alpha H_{jk}^{AB} + \Gamma_{jk}^{AB}) R_j^B + \frac{1}{\alpha} \sum_{k=1}^{\alpha} \Gamma_{jk}^{AB} M_{jk}^A + \frac{1}{\alpha} \sum_{k=1}^{\alpha} (\alpha H_{jk}^{BC} + \Gamma_{jk}^{BC}) M_{jk}^B + \frac{1}{\alpha} \sum_{k=1}^{\alpha} \Gamma_{jk}^{BC} M_{jk}^B = D_{jk}^B - \frac{E I_{jk}}{Y_{jk}^2} d_{jk} \\
& \frac{\alpha}{\alpha} \Psi_{jk}^{AB} R_j^A + \frac{\alpha}{j} (\alpha L_{jk}^{AB} + \Psi_{jk}^{AB}) R_j^B + \frac{1}{\alpha} \sum_{k=1}^{\alpha} (\alpha L_{jk}^{AB} + \Psi_{jk}^{AB}) M_{jk}^A + \frac{1}{\alpha} \sum_{k=1}^{\alpha} \Psi_{jk}^{AB} M_{jk}^B + \frac{1}{\alpha} \sum_{k=1}^{\alpha} (\alpha L_{jk}^{BC} + \Psi_{jk}^{BC}) M_{jk}^B + \frac{1}{\alpha} \sum_{k=1}^{\alpha} \Psi_{jk}^{BC} M_{jk}^B = h_{jk}^B + \frac{E I_{jk}}{Y_{jk}^2} C_{jk} \\
\end{aligned} \tag{12}$$

式(12)の左辺の反力および反力モーメントの係数はすべて形状定数であり、右辺第1項は荷重項である。式(12)は \$(3\alpha+3t+4)\$ 元の連立方程式となり式(3)と同様 \$R\$ と \$d\$, \$M\$ と \$C\$ のいかずれかが判明すれば、もしくは \$R\$ と \$d\$, \$M\$ と \$C\$ の関係が明らかとなれば未知数と方程式の数とが一致し解釈可能となる。また式(12)の解を式(5)のたわみ曲面式およびそれからえられる変位、断面力の諸式に代入すれば、扇形平板の諸変位および諸断面力が算定されることがわかる。

4. 計算例 図-4に示すとく、中心角が \$\alpha = \frac{\pi}{6}\$, 辺長比 \$\lambda = (y\_2 - y\_1)/(x\_2 - x\_1) = (y\_2 - y\_1)/(\alpha \frac{y\_2 + y\_1}{2}) = 1.0\$ の扇形平板 \$ABCD\$ が、辺 \$AB, CD\$ が単純支持、\$AC, BD\$ が \$3\$ スパンへ連続円形曲りばかりより彈性支持され、かつ全面にわたって等分布荷重 \$q\_0\$ を満載するものとする。また彈性ばかりには板から板反力の半分が伝達され、曲げモーメントは伝達されないものとする。ひととく、彈性ばかりの中間支点に \$A, B\$ 点より番号 1, 2 を付し、また \$M = 0.649, V = 0.3, X\_A = 50.0, X\_B = 85.47\$ とし式(12)の形状定数および荷重項を算定すると、弾性ばかりの中間支点の沈下が 0 の場合について基本連立方程式を解けば中間反力が次値となる。

$$R_1^A = R_2^A = 0.02066 q_0 Y_2^2, \quad R_1^B = R_2^B = 0.02623 q_0 Y_2^2 \tag{13}$$

式(13)の結果を用いて本例の扇形平板のたわみ \$W\$ を計算すれば図-5のとくえられるが、特に本例の扇形平板と四辺が單純支持された扇形平板における \$\theta = \frac{\pi}{12}\$ なる断面のたわみを比較すれば図-6のとくである。



5. 結語 本法では扇形平板のたわみ曲面 \$W\$ および諸変位、諸断面力がすべて扇形平板の接線方向の二邊を彈性支持する部材列の中間支点(点)の反力および反力モーメントの一次式としてある。これらは反力反力モーメントは式(12)に示す連立方程式を解くだけの簡単な操作により求まる点すぐれた特色をもつといえる。また級数和で与えられるたわみの収束は非常に早く、板中央附近では約 12 項までで充分収束し、収束の最も早い部材列の附近でも 50 項程度である。本法と同様の手法を用いて、連続ばかりまたはラーメンはり彈性支持された法線方向に連続するところ扇形平板の解析が可能である。

文 (1) 小崎・猪木; 軸線包含面の直角荷重を受ける連続円形曲りばかりの解法、土木学会西日本支部研究発表会論文集、昭和42年1月。

(2) 山崎・猪木・木本; 一方拘束、直角荷重を受ける扇形板の解法、上木屋会第2回年次学術講演会論文集、昭和41年5月。

献 (3) 若村; 曲線直交要素による平板の曲げ剛性、土木学会論文集、第82号、1962年6月。